

# **Q-РАСПРЕДЕЛЕНИЕ ДЛЯ ОДНОАТОМНОГО ЛАЗЕРА, РАБОТАЮЩЕГО В «КЛАССИЧЕСКОМ» РЕЖИМЕ**

**Н.В. Ларионов<sup>1,2</sup>**

<sup>1</sup> Санкт-Петербургский государственный морской технический университет,  
ул. Лоцманская, д. 3, Санкт-Петербург, 190121, Россия.

<sup>2</sup> Санкт-Петербургский политехнический университет Петра Великого,  
ул. Политехническая, д. 29, Санкт-Петербург, 195251, Россия.

В работе теоретически исследуются модель одноатомного лазера с некогерентной накачкой. В стационарном случае из уравнения для оператора плотности системы выводится линейное однородное дифференциальное уравнение для усредненной по фазе  $Q$ -функции Хусими. В режиме когда связь поля с атомом во много раз сильнее, чем связь поля с резервуаром, обеспечивающим его распад, найдено асимптотическое решение этого уравнения. Это решение позволяет описать некоторые статистические особенности одноатомного лазера, в частности слабую суб-пуассоновскую статистику фотонов.

## **Введение**

В настоящее время источники неклассических состояний света востребованы в таких областях физики как квантовая информатика, квантовые коммуникации, квантовая криптография и квантовые стандарты частоты [1-5]. Проводятся различные исследования, направленные на создание таких источников. В частности, есть работы в которых, для получения определенных состояний света, а также для создания различных элементов квантовых устройств, предлагается использовать системы, состоящие всего из одного или нескольких квантовых излучателей [6-9]. Свойства одиночного излучателя отображаются на состоянии электромагнитного поля, что позволяет получить, к примеру, суб-пуассоновский свет [10].

Одной из фундаментальных моделей квантовой оптики является модель одноатомного лазера. Данной модели посвящено множество как теоретических [11-27], так и экспериментальных работ [28-30]. Различные эффекты, обнаруженные в этих работах, в основном связаны с сильным проявлением Ферми статистики

одионочного излучателя: эффект самогашения, сжатие амплитудной компоненты поля, суб-пуассоновская статистика фотонов, генерация без инверсии и др.

Существенный вклад в понимание физики одноатомного лазера был сделан группой ученых из Института физики НАН Беларуси, возглавляемой профессором Кирином С. Я. (см. [11], [15-18], [20,27] и ссылки там же). Один из теоретических подходов, используемый этой группой, основан на анализе уравнения для оператора плотности системы, записанного для таких квази-вероятностных распределений как  $P$ -функция Глаубера и  $Q$ -функция Хусими, позволяющих находить нормально- и антинормально упорядоченные корреляционные функции полевых операторов, соответственно.

В работе [21], для случая стационарного режима работы одноатомного лазера с некогерентной накачкой, было получено линейное однородное дифференциальное уравнение второго порядка для усредненной по фазе  $P$ -функции. В предельном случае, когда связь поля с атомом во много раз сильнее, чем связь поля с резервуаром, обеспечивающим его затухание (режим, в котором для одноатомного лазера возможно существование порога генерации [19], такого же, как и для обычного лазера - «классический» режим), было получено приближенное решение этого уравнения. Последнее, являющееся порождающим решением в проблеме малого параметра у старшей производной (сингулярно возмущенная задача, см., к примеру, [31]), для определенных значений параметров лазера дает хорошее согласие с численными расчетами и, более того, содержит в себе некоторые предельные решения, полученные ранее в [15,16]. Дальнейший анализ этого уравнения позволил получить приближенное выражение для  $P$ -функции, которая, в отличие от предыдущих решений, демонстрирует существенно неклассическое поведение - становится отрицательно определенной [22].

В силу специфики  $P$ -функции, которая может быть отрицательной и/или неограниченной, анализ упомянутого уравнения и его приближенных решений сталкивается с определенными трудностями. В частности здесь возникает проблема искусственного ограничения области определения  $P$ -функции (см., к примеру, [15], [21]). В связи с этим возникает естественное желание получить аналогичное уравнение, но для «хорошего» квази-вероятностного распределения. В качестве последнего, в представленной статье, было выбрано квази-вероятностное распределение  $Q$ , которое является неотрицательно определенным и ограниченным.

Структура статьи следующая. В первой части, для одноатомного лазера с некогерентной накачкой, генерирующего в стационарном режиме, выводится

однородное дифференциальное уравнение для усредненной по фазе  $Q$ -функции. Вторая часть посвящена анализу этого уравнения в случае «классического» режима работы лазера. Находится асимптотическое решение этого уравнения, которое сравнивается с соответствующим решением для  $P$ -функции. С помощью найденного решения исследуется статистка фотонов в моде резонатора. Проводится сравнение с результатами, полученными в рамках подхода, основанного на линеаризации уравнений Гейзенберга-Ланжевена по малым флуктуациям вблизи сильного «классического» решения [19]. В заключении подводятся итоги проведенного исследования.

### Модель одноатомного лазера. Уравнение для усредненной по фазе $Q$ -функции

Рассматриваемая модель одноатомного лазера представлена одиночным двухуровневым атомом, взаимодействующим с затухающей модой резонатора. Некогерентная накачка атома с нижнего уровня  $|1\rangle$  на верхний уровень  $|2\rangle$  осуществляется со скоростью  $\Gamma/2$ . Спонтанный распад атома с верхнего уровня  $|2\rangle$  на нижний  $|1\rangle$  происходит со скоростью  $\gamma/2$ . Константа взаимодействия атома с модой резонатора обозначается за  $g$ . Затухания моды резонатора происходит со скоростью  $\kappa/2$ .

Уравнение для оператора плотности  $\hat{\rho}$  одноатомного лазера имеет вид

$$\begin{aligned} \frac{\partial \hat{\rho}}{\partial t} = & -\frac{i}{\hbar} [\hat{V}, \hat{\rho}] + \frac{\kappa}{2} (2\hat{a}\hat{\rho}\hat{a}^\dagger - \hat{a}^\dagger\hat{a}\hat{\rho} - \hat{\rho}\hat{a}^\dagger\hat{a}) + \\ & + \frac{\gamma}{2} (2\hat{\sigma}\hat{\rho}\hat{\sigma}^\dagger - \hat{\sigma}^\dagger\hat{\sigma}\hat{\rho} - \hat{\rho}\hat{\sigma}^\dagger\hat{\sigma}) + \frac{\Gamma}{2} (2\hat{\sigma}^\dagger\hat{\rho}\hat{\sigma} - \hat{\sigma}\hat{\sigma}^\dagger\hat{\rho} - \hat{\rho}\hat{\sigma}\hat{\sigma}^\dagger), \end{aligned} \quad (1)$$

где  $\hat{a}^\dagger, \hat{a}$  – операторы рождения и уничтожения фотонов в моде резонатора, соответственно;  $\hat{\sigma}^\dagger = |2\rangle\langle 1|$ ,  $\hat{\sigma} = |1\rangle\langle 2|$  – операторы атомных переходов;  $\hat{V} = i\hbar g (\hat{a}^\dagger \hat{\sigma} - \hat{\sigma}^\dagger \hat{a})$  – оператор взаимодействия атома с модой резонатора, где  $\hbar$  – приведенная постоянная Планка. Физический смысл каждого слагаемого в правой части (1) определяется соответствующей скоростной константой.

Будем рассматривать антинормально упорядоченное диагональное представление оператора плотности  $\hat{\rho}(z, z^*)$  по когерентным состояниям  $|z\rangle$  поля, которое определяется следующим образом

$$\hat{\rho} = \int \hat{\rho}(z, z^*) |z\rangle\langle z| d^2z, \quad (2)$$

где  $d^2z \equiv d \operatorname{Re}[z] d \operatorname{Im}[z]$  и  $\operatorname{Re}[z], \operatorname{Im}[z]$  - действительная и реальная часть комплексного числа  $z$ . Используя известные правила перехода [32]

$$\begin{aligned} \hat{a} \hat{\rho} &\rightarrow \left( z + \frac{\partial}{\partial z^*} \right) \hat{\rho}(z, z^*), \quad \hat{a}^\dagger \hat{\rho} \rightarrow z^* \hat{\rho}(z, z^*), \\ \hat{\rho} \hat{a} &\rightarrow z \hat{\rho}(z, z^*), \quad \hat{\rho} \hat{a}^\dagger \rightarrow \left( z^* + \frac{\partial}{\partial z} \right) \hat{\rho}(z, z^*), \end{aligned} \quad (3)$$

и вводя следующие функции:  $\rho_{ik}(z, z^*) = \langle i | \hat{\rho}(z, z^*) | k \rangle$ ,  $i, k = 1, 2$ ,  $D(z, z^*) = \rho_{22}(z, z^*) - \rho_{11}(z, z^*)$  и  $Q$ -функцию  $Q(z, z^*) = \rho_{11}(z, z^*) + \rho_{22}(z, z^*)$ , из уравнения (1) можно легко получить систему дифференциальных уравнений в частных производных

$$\begin{cases} \frac{\partial Q}{\partial t} = \frac{\partial}{\partial z} \left[ \frac{\kappa}{2} \left( zQ + \frac{\partial Q}{\partial z^*} \right) - g\rho_{21} \right] + \frac{\partial}{\partial z^*} \left[ \frac{\kappa}{2} \left( z^*Q + \frac{\partial Q}{\partial z} \right) - g\rho_{12} \right], \\ \frac{\partial D}{\partial t} = (\Gamma - \gamma)Q - (\Gamma + \gamma)D + \frac{\partial}{\partial z} \left[ \frac{\kappa}{2} zD - g\rho_{21} \right] + \frac{\partial}{\partial z^*} \left[ \frac{\kappa}{2} z^*D - g\rho_{12} \right] - \\ - 2g(z^*\rho_{21} + z\rho_{12}) + \kappa \frac{\partial^2 D}{\partial z \partial z^*}, \\ \frac{\partial \rho_{21}}{\partial t} = -\frac{(\Gamma + \gamma)}{2} \rho_{21} + \frac{\kappa}{2} \left[ \frac{\partial}{\partial z} z\rho_{21} + \frac{\partial}{\partial z^*} z^*\rho_{21} \right] + g \left[ zD + \frac{1}{2} \frac{\partial}{\partial z^*} (D - Q) \right] + \\ + \kappa \frac{\partial^2 \rho_{21}}{\partial z \partial z^*}. \end{cases} \quad (4)$$

Здесь и далее, для того чтобы избежать громоздкости выражений, у квазивероятностей опущены скобки с комплексными аргументами  $z, z^*$ .

Физический смысл дополнительных функций  $\rho_{21}$  и  $D$  следует из их средних значений:  $\langle D \rangle = \langle \rho_{22} \rangle - \langle \rho_{11} \rangle \equiv \langle \hat{\sigma}_z \rangle = \int D d^2z$  - атомная инверсия,

$\langle \rho_{21} \rangle = \langle \rho_{12} \rangle^* \equiv \langle \hat{\sigma} \rangle = \int \rho_{21} d^2z$  - среднее значение атомной поляризации.

Первое уравнение в системе (4) можно переписать в виде уравнения неразрывности

$$\frac{\partial Q}{\partial t} + \operatorname{div} \mathbf{J} = q, \quad (5)$$

где определены дивергенция  $\operatorname{div} = (\partial/\partial z, \partial/\partial z^*)$  и вектор тока квазивероятности  $\mathbf{J} = (J, J^*)$ ,  $J = -\kappa/2(z + \partial/\partial z^*)Q$ . Источник  $q = -g(\partial\rho_{21}/\partial z + \partial\rho_{12}/\partial z^*)$  также может быть записан через дивергенцию некоторого вектора.

Перейдем к новым полярным координатам  $(I, \varphi)$ , таким что  $z = I^{1/2} e^{i\varphi}$ , и определим усредненные по фазе  $\varphi$  квази-вероятностные распределения

$$\begin{aligned} Q(I) &= \frac{1}{2\pi} \int_0^{2\pi} Q(I, \varphi) d\varphi, \quad D(I) = \frac{1}{2\pi} \int_0^{2\pi} D(I, \varphi) d\varphi, \\ \rho_{12}(I) &= \rho_{21}^*(I) = \frac{1}{2\pi} \int_0^{2\pi} e^{i\varphi} \rho_{12}(I, \varphi) d\varphi. \end{aligned} \quad (6)$$

Тогда в стационарном случае из уравнения неразрывности (5) можно получить следующую связь между  $Q(I)$  и суммой когерентностей  $\rho_{\Sigma}(I) = \rho_{21}(I) + \rho_{12}(I)$

$$\rho_{\Sigma}(I) = \frac{\kappa}{g} I^{1/2} \left[ Q(I) + \frac{dQ(I)}{dI} \right]. \quad (7)$$

Из двух последних уравнений системы (4), в стационарном случае, имеем

$$\begin{cases} (\Gamma - \gamma)Q(I) - (\Gamma + \gamma)D(I) - 2gI^{1/2}\rho_{\Sigma}(I) = \frac{d}{dI} \left[ gI^{1/2}\rho_{\Sigma}(I) - \kappa ID(I) - \kappa I \frac{dD(I)}{dI} \right], \\ (\Gamma + \gamma)\rho_{\Sigma}(I) + \frac{\kappa}{2I}\rho_{\Sigma}(I) - 2gI^{1/2} \left[ 2D(I) + \frac{d}{dI}(D(I) - Q(I)) \right] = \\ = 2\kappa \frac{d}{dI} I \left[ \rho_{\Sigma}(I) + \frac{d\rho_{\Sigma}(I)}{dI} \right]. \end{cases} \quad (8)$$

Используя (7) можно исключить из системы (8) функцию  $\rho_{\Sigma}(I)$  и получить систему двух дифференциальных уравнений относительно неизвестных функций  $Q(I)$  и  $D(I)$ .

Наша задача состоит в получении одного дифференциального уравнения для функции  $Q(I)$ . Но первое уравнение в системе (8) (говорим о системе (8), подразумевая что  $\rho_{\Sigma}(I)$  исключена из неё при помощи (7)) является дифференциальным уравнением второго порядка относительно функции  $D(I)$ , а второе - первого порядка относительно той же функции  $D(I)$ . Поэтому, для того чтобы исключить из (8)  $D(I)$ ,  $dD(I)/dI$  и  $d^2D(I)/dI^2$ , нужно добавить к этой системе еще одно уравнение, которое содержало бы вторую производную функции  $D(I)$ . Это уравнение можно получить, продифференцировав второе уравнение в системе (8).

Опуская промежуточные элементарные вычисления выпишем окончательный результат

$$\sum_{\nu=0}^5 f_{\nu}(I) Q^{(\nu)}(I) = 0, \quad (9)$$

$$f_5(I) = b_{02}I^2 + b_{03}I^3, f_4(I) = b_{11}I + b_{12}I^2 + b_{13}I^3,$$

$$f_3(I) = b_{20} + b_{21}I + b_{22}I^2 + b_{23}I^3, f_2(I) = b_{30} + b_{31}I + b_{32}I^2 + b_{33}I^3,$$

$$f_1(I) = b_{40} + b_{41}I + b_{42}I^2, f_0(I) = b_{50} + b_{51}I + b_{52}I^2,$$

где введено обозначение  $Q^{(\nu)}(I) \equiv d^{\nu}Q(I)/dI^{\nu}$  и коэффициенты  $b_{ik} = b_{ik}(\Gamma, \gamma, \kappa, g)$  выписаны в приложении.

Таким образом, искомое уравнение для усредненной по фазе  $Q$ -функции является однородным дифференциальным уравнением пятого порядка с полиномиальными коэффициентами. Напомним, что соответствующее уравнение для усредненной по фазе  $P$ -функции, является уравнением второго порядка [21].

### **Функция $Q(I)$ для одноатомного лазера, работающего в «классическом» режиме**

Далее, как и в работах [19,21], будем использовать следующие три безразмерных параметра: безразмерный параметр накачки -  $r = \Gamma / \gamma$ , безразмерный коэффициент насыщения -  $I_s = \gamma / \kappa$  и безразмерную константу связи (кооперативный параметр) -  $c = 4g^2 / \gamma\kappa$ .

Как упоминалось выше, для рассматриваемого одноатомного лазера было выведено уравнение для усредненной по фазе  $P$ -функции  $P(I)$  [21]. Это уравнение представляет собой однородное дифференциальное уравнение второго порядка с полиномиальными коэффициентами. В «классическом» режиме, когда произведение  $cI_s \gg 1$  (т.е.  $g/\kappa \gg 1$ ), в этом уравнении можно выделить малый параметр  $\lambda \approx 1/cI_s$ , стоящий при старшей производной. Используя теорию возмущений, авторы статьи нашли порождающее решение  $P_0(I)$  этого уравнения (формула (50) в [21]), являющееся решением дифференциального уравнения первого порядка.

В случае «хорошего» резонатора  $I_s \gg 1$  функция  $P_0(I)$  хорошо описывает статистические свойства одноатомного лазера. В частности, с её помощью можно описать некоторые результаты, получающиеся из решения системы уравнений Гейзенберга-Ланжевена путем их линеаризации по малым флуктуациям вблизи сильного «классического» решения [19,21] (далее «линейная теория»). Выпишем результаты этой «линейной теории»

$$I_0(r, I_s, c) = \frac{I_s}{2} \left[ (r-1) - \frac{(r+1)^2}{c} \right],$$

$$Q_f^{lin}(r, c) = \frac{2c^2 - c(r-5)(r+1) + 3(r+1)^3}{2c^2 \left[ (r-1) - \frac{(r+1)^2}{c} \right]}. \quad (10)$$

Здесь  $I_0 \approx \langle \hat{n} \rangle \equiv \langle \hat{a}^\dagger \hat{a} \rangle$  - классическая внутрирезонаторная интенсивности, а  $Q_f^{lin} \approx Q_f = (\langle \hat{n}^2 \rangle - \langle \hat{n} \rangle^2) / \langle \hat{n} \rangle - 1$  -  $Q$ -параметр Манделя для поля (верхний индекс «*lin*» указывает на то, что это результат «линейной теории»).

Формулы (10), имеют смысл для  $c > 8$  и для  $r \in (r_{th}, r_q)$ , где  $r_{th}$  - пороговое значение параметра накачки и  $r_q$  - значение параметра накачки, при котором происходит эффект самотушения. Явные выражения для  $r_{th}, r_q$  получаются из уравнения  $I_0 = 0$  и они равны

$$r_{th} = r_m - \frac{c}{2} \sqrt{1 - \frac{8}{c}}, \quad r_q = r_m + \frac{c}{2} \sqrt{1 - \frac{8}{c}}, \quad (11)$$

где  $r_m = c/2 - 1$  значение накачки, когда интенсивность  $I_0$  достигает своего максимума  $I_m = I_s (c/8 - 1)$ .

Результаты (10) предсказывают незначительную суб-пуассоновскую статистику фотонов в моде резонатора [21]. При  $c \approx 200$  и выше, и для значений параметра накачки близких к  $r = c/5$ , Мандель  $Q$ -параметр  $Q_f^{lin}$  становится отрицательным и при  $c \rightarrow \infty$  принимает значение равное  $-0.05$  (проявление эффекта антигруппировки фотонов).  $P$ -функция в этой области значений параметров демонстрирует неклассическое поведение - становится отрицательно определенной и неограниченной, а у приближенного решения  $P_0(I)$  появляется существенно особая точка близкая к  $I_0$ , не позволяющая подтвердить результаты «линейной теории».

Отметим, что для рассматриваемой модели одноатомного лазера выявленное минимальное значение  $Q$ -параметра Манделя равно  $-0.15$  [13], [24]. Такая суб-пуассоновская статистика связана с эффектом антигруппировки фотонов, который лучше всего проявляется в режиме малого числа фотонов в моде резонатора  $rI_s \approx 1$  ( $\Gamma \approx \kappa$ ) [24]. Однако в рассматриваемом нами «классическом» режиме, т.е. в режиме когда существуют решения (10), этот эффект ослаблен присутствием большого числа

фотонов, некогерентно накопленных в моде и обладающих относительно длительным временем жизни.

Теперь перейдем к выделению малого параметра  $\lambda \approx 1/cI_s$  в уравнении (9) и попробуем получить соответствующее порождающее решение для  $Q$ -функции. Будем действовать также как и в работе [21]. Для этого перепишем полиномы  $f_\nu(I)$  выделив в них корни

$$\begin{aligned} f_5(I) &= b_{03} I^2 (I - I_{00}), f_4(I) = b_{13} I (I - I_{11})(I - I_{12}), \\ f_3(I) &= b_{23} (I - I_{21})(I - I_{22})(I - I_{23}), f_2(I) = b_{33} (I - I_{31})(I - I_{32})(I - I_{33}), \\ f_1(I) &= b_{42} (I - I_{-4})(I - I_{+4}), f_0(I) = b_{52} (I - I_{-5})(I - I_{+5}), \end{aligned} \quad (12)$$

где в последних двух полиномах обозначения корней аналогичны обозначениям в работе [21].

Коэффициенты при двух последних полиномах  $b_{42}, b_{52} \sim cI_s$ , а коэффициенты при всех остальных полиномах порядка единицы. Поэтому в режиме  $cI_s \gg 1$  заменим уравнение (9) на приближенное уравнение первого порядка

$$b_{42} (I - I_{-4})(I - I_{+4}) Q'_0(I) + b_{52} (I - I_{-5})(I - I_{+5}) Q_0(I) = 0. \quad (13)$$

Решение этого уравнения имеет следующий вид

$$\begin{aligned} Q_0(I) &= N_0 (1 - I/I_{-4})^{f_1} |(1 - I/I_{+4})|^{f_2} \exp\left(-\frac{b_{52}}{b_{42}} I\right), \\ f_1 &= -\frac{b_{52}}{b_{42}} \frac{(I_{-4} - I_{-5})(I_{-4} - I_{+5})}{(I_{-4} - I_{+4})}, f_2 = \frac{b_{52}}{b_{42}} \frac{(I_{+4} - I_{-5})(I_{+4} - I_{+5})}{(I_{-4} - I_{+4})}, \end{aligned} \quad (14)$$

где  $N_0$  - нормировочная константа, а нижний индекс «0» у функции указывает на то, что это решение является порождающим в задаче с малым параметром.

Найденное решение (14) по своей структуре практически полностью совпадает с соответствующим порождающим решением  $P_0(I)$  для  $P$ -функции (см. формула (50) в [21]). Однако у решения (14) есть некоторые преимущества, связанные с тем, что  $Q$ -функция неотрицательно определена и ограничена. Так экспонента в (14), в связи с положительностью отношения  $b_{52}/b_{42} > 0$ , убывает при возрастании аргумента  $I$ . Напротив, функция  $P_0(I)$ , найденная в [21], экспоненциально возрастает при  $I \rightarrow \infty$ , что являлось одной из причин искусственного ограничения ее области определения.

Первая скобка  $(1 - I / I_{-4})$  в (14) всегда положительна, так как корень  $I_{-4} < 0$ . Вторая скобка  $(1 - I / I_{+4})$  становится отрицательной для  $I > I_{+4}$  (корень  $I_{+4} > 0$ ), а, следовательно,  $Q_0(I)$  принимает комплексное значение, что недопустимо для  $Q$ -функции. Однако для случая «хорошего» резонатора  $I_s \gg 1$  значение корня  $I_{+4}$  близко к тем значениям переменной  $I$ , для которых  $Q$ -функция пренебрежимо малая величина. Для случая «плохого» резонатора  $I_s \sim 1, I_s \ll 1$  значение корня  $I_{+4}$  находится в области значений переменной  $I$ , где  $Q$ -функция не является малой. Если же ограничивать область определения функции  $Q_0(I)$  отрезком  $[0, I_{+4}]$ , как это было сделано для функции  $P_0(I)$  в [21], то это может приводить к нефизическим результатам. Поэтому скобка  $(1 - I / I_{+4})$  в (14) взята под знак модуля.

Отметим несколько особенностей решения (14), которые есть и у функции  $P_0(I)$ . Корень  $I_{-5}$  практически полностью повторяет решение для классической внутрирезонаторной интенсивности (10), т.е.  $I_{-5} \approx I_0$ . В случае «хорошего» резонатора, вблизи максимума классического решения  $I_0$ , выполняется приближенное равенство  $I_{+4} \approx I_{+5}$ .

Анализ уравнения (9) показывает, что решение (14) не может быть использовано для описания работы лазера в случае, когда параметр накачки много меньше порогового значения  $r_{th}$ . В этом случае, учитывая что основные изменения  $Q$ -функции происходят в области малых значений переменной  $I$ , можно рассмотреть уравнение, получающееся из (9) путем пренебрежения в полиномах всеми степенями переменной  $I$ , т.е.

$$b_{20}Q^{(3)}(I) + b_{30}Q^{(2)}(I) + b_{40}Q^{(1)}(I) + b_{50}Q(I) = 0. \quad (15)$$

Решение этого уравнения

$$Q_1(I) = N_0 e^{I/a}, \quad (16)$$

где константа  $a < 0$  является действительным корнем полиномиального уравнения:  $b_{50} + b_{40}I + b_{30}I^2 + b_{20}I^3 = 0$ . Эта константа при  $r \rightarrow 0, \infty$  стремится к минус единице, т.е. в этих предельных случаях  $Q$ -функция описывает вакуумное состояния моды -  $Q_1(I) = e^{-I} / \pi$ . Таким образом, решение (16) описывает тепловое излучение со средним числом фотонов равным  $\langle \hat{n} \rangle = -(a + 1)$ .



Выпишем	соответствующие	значения	$I_0, Q_f^{lin}$	и	$\langle n \rangle, Q_f$ :
	$I_s = 95.95, c = 10^2$	$I_s = 8.83, c = 10^3$	$I_s = 0.87, c = 10^4$		
$H-L$	$I_0 = 700, Q_f^{lin} = 0.056$	$I_0 = 700, Q_f^{lin} = -0.04$	$I_0 = 700, Q_f^{lin} = -0.049$		
$P_0(I)$	$\langle n \rangle = 700.1, Q_f = 0.056$	$\langle n \rangle = \dots, Q_f = \dots$	$\langle n \rangle = \dots, Q_f = \dots$		
$Q_0(I)$	$\langle n \rangle = 700.1, Q_f = 0.057$	$\langle n \rangle = 700.1, Q_f = -0.039$	$\langle n \rangle = 700.1, Q_f = -0.047$		

В этой таблице только первые два столбца соответствуют графикам на рисунке 1 d). Последний столбец относится к режиму сильной связи и «плохого» резонатора (график не приведён, так как он практически полностью совпадает с графиком для случая  $c = 10^3$ ). Из приведенных значений видно, что найденная  $Q$ -функция (14) хорошо описывает слабую суб-пуассоновскую статистику, предсказанную «линейной» теорией. Случай «плохого» резонатора и случаи  $c \approx 200, c > 200$  функция  $P_0(I)$  описать не может.

На рисунке 2 сравниваются результаты «линейной» теории с результатами, полученными с помощью решений (14), (16). Для случая «хорошего» резонатора  $I_s \gg 1$  и для значений параметра накачки, лежащих между  $r_{th}$  и  $r_q$  (рисунок 2 а), б), с)), оба подхода полностью согласуются друг с другом. Характерный пороговый пик для  $Q$ -параметра Манделя [19] и пик, обусловленный эффектом «запираания» атома в возбужденном состоянии, хорошо описывается найденной функцией  $Q_0(I)$  (14). Для значений параметра накачки лежащих много ниже классического порога  $r_{th}$ , решение (14) даёт нефизический результат для  $Q$ -параметра Манделя. Для получения результатов в этом случае использовано решение (16) (синяя точечная кривая).

На рисунке 2 с) рассматривается переход в режим сильной связи, когда возникает слабая суб-пуассоновская статистика фотонов, предсказанная «линейной» теорией. Как видно из рисунка, найденная функция  $Q_0(I)$  (14) полностью описывает этот квантовый эффект.

Режим «плохого» резонатора  $I_s \sim 1$  рассмотрен на рисунке 2 d). Графики для  $Q$ -параметра Манделя  $Q_f^{lin}$  (10), в силу его естественной зависимости только от параметров  $r, c$ , полностью совпадают с графиками на рисунке 2с). Из сравнения с численными расчетами видно, что результаты, полученные с помощью «линейной» теории (10), лучше описывают переход в суб-пуассоновский режим. Для «плохого» резонатора функция  $Q_0(I)$  (14) дает только качественный результат. Однако в

пределе  $c \rightarrow \infty$  результаты полученные с помощью функции  $Q_0(I)$  (14) совпадут с результатами «линейной» теории.

### Аппроксимация функции $Q_0(I)$ гауссовым распределением

Рассмотрим режим «хорошего» резонатора  $I_s \gg 1$  и значения параметра накачки близки к  $r_m$  (10), (11). Учтем, что в рассматриваемом случае  $I_{+4} \approx I_{+5}$  и  $I_{-5} \approx I_0$ . Отсюда  $f_1 \approx -b_{52} / b_{42} (I_{-4} - I_0)$ ,  $f_2 \approx 0$  и (14) можно переписать следующим образом

$$Q_0(I) = N_0 \left( 1 + \frac{\Delta I}{I_0 - I_{-4}} \right)^{\frac{b_{52}(I_0 - I_{-4})}{b_{42}}} \exp \left( -\frac{b_{52}}{b_{42}} \Delta I \right), \quad (17)$$

где  $\Delta I = (I - I_0)$  и величина  $(I_0 - I_{-4}) \gg 1$ . (17) имеет максимум соответствующий значениям  $I$ , близким к классическому решению  $I_0$ , т.е. для  $\Delta I \approx 0$ . Тогда в области значений переменной  $I$ , для которых (17) не является пренебрежимо малой, т.е. для  $I$  не слишком удаленных от значения  $I_0$ , можно сделать следующее разложение предэкспоненциального множителя

$$\begin{aligned} \left( 1 + \frac{\Delta I}{I_0 - I_{-4}} \right)^{-(I_0 - I_{-4})} &= \exp \left[ -(I_0 - I_{-4}) \ln \left( 1 + \frac{\Delta I}{I_0 - I_{-4}} \right) \right] \approx \\ &\approx \exp \left[ -\Delta I + \frac{(\Delta I)^2}{2(I_0 - I_{-4})} \right]. \end{aligned} \quad (18)$$

Подставляя (18) в (17) видим что  $Q$ -функция принимает вид гауссовой функции

$$Q_0(I) = N_0 \exp \left[ -\frac{(\Delta I)^2}{2\sigma^2} \right]. \quad (19)$$

где дисперсия  $\sigma^2 = (I_0 - I_{-4})b_{42} / b_{52}$  определяется решениями (10)

$$\sigma^2 = \pi \int_0^\infty I^2 Q_0(I) dI - \left[ \pi \int_0^\infty I Q_0(I) dI \right]^2 = 1 + I_0 (2 + Q_f^{lin}). \quad (20)$$

Таким образом, как это следует из (20), решение (19) описывает слабую субпуассоновскую статистику фотонов в моде резонатора. В самом деле, по определению Манделя  $Q$ -параметра, имеем

$$Q_f = \frac{\pi \int_0^{\infty} I^2 Q(I) dI - \left[ \pi \int_0^{\infty} IQ(I) dI \right]^2 - \pi \int_0^{\infty} IQ(I) dI}{\pi \int_0^{\infty} IQ(I) dI - 1} - 1 \approx$$

$$\approx \frac{\sigma^2 - I_0 - 1}{I_0} - 1 = Q_f^{lin}. \quad (21)$$

Отметим, что для функции  $P_0(I)$  в работе [21] также было получено гауссово выражение, типа (19). Однако дисперсия  $\sigma^2$  в этом случае была равна следующему произведению  $I_0 \cdot Q_f^{lin}$ , которое для суб-пуассоновской статистики становилось отрицательным, что делало функцию  $P_0(I)$  неограниченной.

### Заключение

В данной работе, на основе уравнения для усредненной по фазе  $Q$ -функции (9), исследовался стационарный режим работы одноатомного лазера с некогерентной накачкой. В «классическом» режиме ( $g/\kappa \gg 1$ ) получено приближенное решение этого уравнения (14), (16). Это решение описывает основные особенности одноатомного лазера, в частности позволяет описать слабую суб-пуассоновскую статистику фотонов в моде резонатора, ранее обнаруженную с помощью подхода, основанного на линеаризации уравнений Гейзенберга – Ланжевена вблизи сильного классического решения (10) [19,21].

Подытоживая можно сказать, что анализ стационарного режима работы одноатомного лазера с некогерентной накачкой может быть сведен к анализу одного линейного однородного дифференциального уравнения. Так в случае  $P$ -функции это уравнение (41) в [21], а для  $Q$ -функции – уравнение (9) данной статьи. В рассмотренном здесь и в [21] предельном случае  $g/\kappa \gg 1$  в упомянутых дифференциальных уравнениях появляется малый параметр, который относительно легко позволяет найти приближенные решения этих уравнений.

В конце отметим, что уравнение (9) также анализировалось в работе [25], где рассматривался частный случай  $\Gamma \approx \kappa$ , т.е. случай малого числа фотонов в моде резонатора. Для произвольных значений отношения  $g/\kappa$  анализ уравнения (9) был затруднителен. Только в предельном случае  $g/\Gamma \approx g/\kappa \rightarrow \infty$  были найдены точные аналитические решения уравнения (9), одно из которых совпадает с решением (16). В случае малого числа фотонов более плодотворным оказался подход, основанный

на анализе бесконечной системы алгебраических уравнений для различных моментов полевых операторов [33]. Возможно именно этот подход, для некоторых частных случаях, позволит найти точные решения для средних величин, характеризующих одноатомный лазер [34].

Работа выполнена в рамках Государственного задания на проведение фундаментальных исследований (код темы FSEG-2020-0024).

### Приложение

Коэффициенты  $b_{ik} = b_{ik}(\omega, \eta, \tau)$  из уравнения (9), где для упрощения введены следующие безразмерные константы  $\omega = \Gamma / 2g$ ,  $\eta = \gamma / 2g$ ,  $\tau = \kappa / 2g$

$$\begin{aligned}
 b_{02} &= -2\tau^3(\omega + \eta + \tau), b_{03} = 4\tau^4; \\
 b_{11} &= -12\tau^3(\omega + \eta + \tau), b_{12} = 2\tau^3(7\tau - 3\omega - 3\eta), b_{13} = 12\tau^4; \\
 b_{20} &= -12\tau^3(\omega + \eta + \tau), b_{21} = -\tau^2(26\eta\tau - 3\eta^2 + 21\tau^2 - 6\eta\omega + 26\tau\omega - 3\omega^2), \\
 b_{22} &= 12\tau^3(4\tau - \omega - \eta), b_{23} = 12\tau^4; \\
 b_{30} &= -2\tau^2(8\eta\tau - 3\eta^2 + 15\tau^2 - 6\eta\omega + 8\tau\omega - 3\omega^2); \\
 b_{31} &= -2\tau(\eta + \tau - 3\eta^2\tau + 13\eta\tau^2 + \omega - 6\eta\tau\omega + 13\tau^2\omega - 3\tau\omega^2), \\
 b_{32} &= 2\tau^2(2 - 7\eta\tau + 23\tau^2 - 7\tau\omega), b_{33} = 4\tau^4; \\
 b_{40} &= -\eta^3\tau + \eta^2(8\tau^2 - 1 - 3\tau\omega) - \tau(3\tau + 24\tau^3 + 3\omega - \tau^2\omega - 8\tau\omega^2 + \omega^3) + \\
 &+ \eta(\tau^3 - \omega + 16\tau^2\omega - \tau(4 + 3\omega^2)), \\
 b_{41} &= \tau(5\eta^2\tau + 15\tau^3 - 4\omega - 20\tau^2\omega - 2\eta(1 + 10\tau^2 - 5\tau\omega) + \tau(5\omega^2 - 2)), \\
 b_{42} &= 2\tau^2(4 - 3\eta\tau + 7\tau^2 - 3\tau\omega); \\
 b_{50} &= -\eta^3\tau - 6\tau^4 + 5\tau^3\omega + \omega^2 - \tau\omega^3 + \eta^2(2\tau^2 - 1 - 3\tau\omega) + \eta\tau(5\tau^2 - 4 + 4\tau\omega - 3\omega^2) + \tau^2(2\omega^2 - 3), \\
 b_{51} &= 2\tau(\eta^2\tau + 3\tau^3 - 2\omega - 4\tau^2\omega + \tau\omega^2 + 2\eta\tau(\omega - 2\tau)), b_{52} = 4\tau^2.
 \end{aligned}$$

## СПИСОК ЛИТЕРАТУРЫ

1. I. R. Berchera and I. P. Degiovanni, *Metrologia* **56**, 024001 (2019).
2. V. D'ambrosio, N. Spagnolo, L. Del Re, et al., *Nat. Commun.* **4**, 2432 (2013).
3. S. Pogorzalek, K. G. Fedorov, M. Xu, et al., *Nat. Commun.* **10**, 2604 (2019).
4. К. С. Тихонов, А. Д. Манухова, С. Б. Королёв, Т. Ю. Голубева, Ю. М. Голубев, *Опт. и спектр.* **127** (11), 811 (2019).
5. J. Shi, G. Patera, D. V. Horoshko and M. I. Kolobov, *J. Opt. Soc. Am. B* **37**, 3741 (2020).
6. S. Ritter, C. Nölleke, C. Hahn, et al., *Nature* **484**, 195 (2012).
7. С. О. Тарасов, С. Н. Андрианов, Н. М. Арсланов, С. А. Моисеев, *Известия РАН. Серия физическая* **82** (8), 1148 (2018).
8. Е. Н. Попов, В. А. Решетов, *Письма в ЖЭТФ* **111**, 846 (2020).
9. A. A. Sokolova, G. P. Fedorov, E. V. Il'ichev and O. V. Astafiev, *Phys. Rev. A* **103**, 013718 (2021).
10. Д. Ф. Смирнов, А. С. Трошин, *УФН* **153**, 233 (1987).
11. S. Ya. Kilin and T. B. Krinitskaya, *J. Opt. Soc. Am. B* **8**, 2289 (1991).
12. Yi Mu and C. M. Savage, *Phys. Rev. A* **46**, 5944 (1992).
13. А. В. Козловский, А. Н. Ораевский, *ЖЭТФ* **115**, 1210 (1999).
14. V. Jones, S. Ghose, J. P. Clemens, P. R. Rice, and L. M. Pedrotti, *Phys. Rev. A* **60**, 3267 (1999).
15. Т. Б. Карлович, С. Я. Килин, *Опт. и спектр.* **91**, 374 (2001).
16. С. Я. Килин, Т. Б. Карлович, *ЖЭТФ* **122**, 933 (2002).
17. Т. Б. Карлович, С. Я. Килин, *Опт. и спектр.* **103**, 288 (2007).
18. Т. Б. Карлович, *Опт. и спектр.* **111**, 758 (2011).
19. N. V. Larionov and M. I. Kolobov, *Phys. Rev. A* **84**, 055801 (2011).

20. S. Ya. Kilin and A. B. Mikhalychev, Phys. Rev. A **85**, 063817 (2012).
21. N. V. Larionov and M. I. Kolobov, Phys. Rev. A **88**, 013843 (2013).
22. E. N. Popov and N. V. Larionov, Proc. SPIE **9917**, 99172X (2016). DOI: 10.1117/12.2229228
23. В. А. Бобрикова, Р. А. Хачатрян, К. А. Баранцев, Е. Н. Попов, Опт. и спектр. **127**, 976 (2019).
24. N. V. Larionov, Proc. 2020 IEEE International Conference on Electrical Engineering and Photonics (EExPolytech), 265 (2020). DOI: 10.1109/EExPolytech50912.2020.9243955
25. N. V. Larionov, Journal of Physics: Conference Series, **2103**, 012158 (2021), DOI: 10.1088/1742-6596/2103/1/012158
26. B. Parvin, Eur. Phys. J. Plus **136**, 728 (2021).
27. Dmitri B. Horoshko, Chang-Shui Yu, and Sergei Ya. Kilin, J. Opt. Soc. Am. B **38**, 3088 (2021).
28. J. McKeever, A. Boca, A. D. Boozer, J. R. Buck, and H. J. Kimble, Nature **425**, 268 (2003).
29. M. Nomura, N. Kumagai, S. Iwamoto, Y. Ota, and Y. Arakawa, Opt. Express **17**, 15975 (2009).
30. F. Dubin, C. Russo, H. G. Barros A. Stute, C. Becher, P. O. Schmidt, and R. Blatt, Nat. Phys. **6**, 350 (2010).
31. Найфэ, А. Введение в методы возмущений, Москва : Мир, 1984.
32. Мандель, Л. Оптическая когерентность и квантовая оптика : пер. с англ. / Л. Мандель, Э. Вольф. Москва : Физматлит, 2000.
33. G. S. Agarwal and S. Dutta Gupta, Phys. Rev. A **42**, 1737 (1990).
34. Ф. М. Федоров, Бесконечные системы линейных алгебраических уравнений и их приложения, Наука, Новосибирск (2011).

### ПОДПИСИ К РИСУНКАМ

Рис. 1. Сравнение поведений функций  $P_0(I)$  [21] и  $Q_0(I)$  (14): а)  $I_s = 100, c = 50$ ; б)  $I_s = 100, c = 100$ ; в)  $I_s = 100, c = 175$ . д) - поведение функции  $Q_0(I)$  (14).

Рис. 2. Сравнение результатов «линейной» теории (10) с результатами, полученными с помощью функции  $Q_0(I)$  (14). а) и б) - зависимости среднего числа фотонов  $\langle n(r) \rangle$  и Манделя Q-параметра  $Q_f(r)$  от параметра накачки  $r$ .  $I_s = 40, c = 20$ . в) и д) - зависимость Манделя Q-параметра  $Q_f(r)$  от параметра накачки  $r$ . Переход в режим сильной связи: в) - случай «хорошего» резонатора,  $I_s = 40$ ; д) - случай «плохого» резонатора,  $I_s = 1$ . Зеленые точки – численные счет уравнения (1).

## РИСУНКИ

Рис. 1:

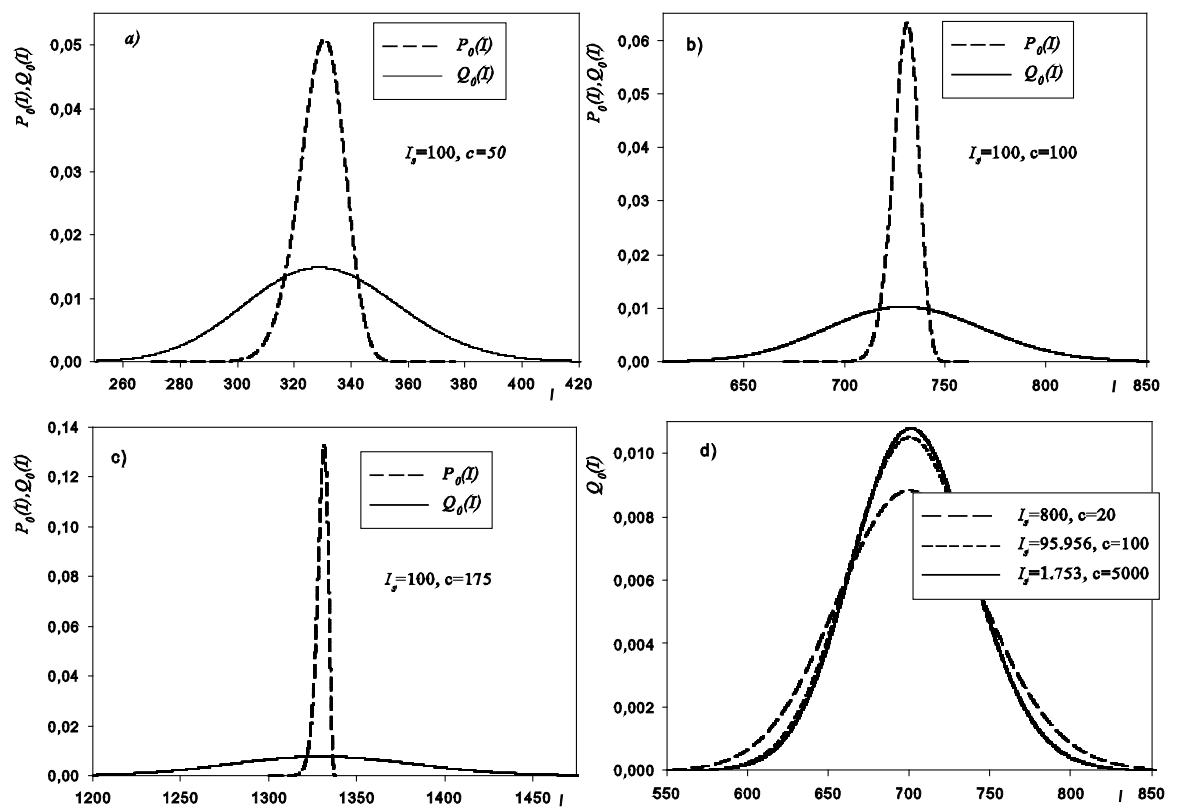


Рис. 2:

